

Преобразование Габора и непрерывное вейвлетное преобразование для модельных импульсных сигналов

© Д.А. Андреев, С.В. Божокин, И.Д. Веневцев, К.Т. Жунусов

Санкт-Петербургский государственный политехнический университет,
195251 Санкт-Петербург, Россия
e-mail: bsvjob@mail.ru

(Поступило в Редакцию 10 января 2014 г.)

Рассмотрена модель импульсного сигнала, представляющего собой суперпозицию элементарных нестационарных сигналов. Подобраны параметры такой суперпозиции, при которой амплитуда сигнала $A(t)$ резко изменяется во времени. Для такого сигнала проанализированы аналитические выражения для преобразования Габора (GT — Gabor Transform) и непрерывного вейвлетного преобразования (CWT — Continuous Wavelet Transform), использующего материнский вейвлет Морле. Предложен критерий согласования поведения GT и CWT с амплитудой сигнала $A(t)$. Показаны преимущества CWT, адаптивно выбирающего размер окна, перед GT, явный вид которого зависит от размера окна. Предлагаемый метод может быть применен для анализа многих переходных этапов нестационарных сигналов в различных областях физики.

Введение

Огромное количество сигналов $Z(t)$, зависящих от времени t , встречающихся в различных областях науки: астрофизика, электродинамика, гидродинамика, физика твердого тела и плазмы, радиофизика, медицина являются нестационарными [1–6]. Это означает, что спектральные и статистические свойства таких сигналов изменяются со временем. Традиционный метод Фурье (FT — Fourier Transform), вычисляющий фурье-компоненту таких сигналов $Z(\omega)$, зависящую от круговой частоты ω , имеет существенный недостаток. Преобразование Фурье позволяет обнаружить факт присутствия в сигнале $Z(t)$ различных гармоник, но не дает возможность проследить эволюцию появления и исчезновения во времени его локальных частот. Если возникает задача нахождения изменений по времени спектрального состава сигнала $Z(t)$, то вместо интегрирования по всему временному интервалу $-\infty < t < \infty$ рассматривают некоторый локальный промежуток $[t - W/2, t + W/2]$. Этот промежуток центрирован по времени в момент t и имеет продолжительность W . Такое преобразование носит название оконного преобразования Фурье (STFT — Short time Fourier Transform). Для окна, имеющего гауссовскую форму, такое оконное преобразование Фурье было разработано Габором (GT — Gabor Transform) [7]. Недостатком преобразования GT является тот факт, что его вид становится зависимым от размера окна. Выбор оптимальной продолжительности W требует знания характерных масштабов времени, в которых происходят перестройки спектральных свойств сигнала. Выбрав окно с большой шириной по времени W , можно получить хорошее разрешение по частоте, но плохое разрешение по времени. Слишком широкое окно будет полезно для обнаружения низкочастотных компонент сигнала, но его ширина будет избыточной для обнаружения гармоник с высокой частотой.

Новым подходом при изучении нестационарных сигналов является теория вейвлетов, которая нашла широкое применение во многих областях науки [1–6]. Большое развитие получило дискретное вейвлетное преобразование (DWT — discrete wavelet transform), которое использует хорошо разработанные численные алгоритмы. Другим направлением теории вейвлетов является непрерывное вейвлетное преобразование (CWT — continuous wavelet transform) [8], которое позволяет для многих нестационарных сигналов $Z(t)$ получать аналитические выражения, описывающие изменение его спектральных свойств со временем [9,10]. Явный вид преобразования CWT зависит от выбора материнского вейвлета, который играет роль адаптивного окна и обеспечивает определенное разрешение как по времени, так и по частоте. Это позволяет автоматически найти изменения частотных свойств $Z(t)$, которые могут то возникать, то исчезать в определенные моменты времени t . Окно, используемое при вычислении CWT, имеет большую продолжительность при изучении сигналов, имеющих низкочастотные компоненты с малыми частотами ν . Если в сигналах присутствуют и высокочастотные компоненты, частоты которых ν достаточно велики, то в этом случае окно будет иметь малую продолжительность по времени. Заметим, что использование CWT, в отличие от DWT, позволяет рассматривать любые непрерывные сдвиги центра материнского вейвлета как по времени t , так и по частоте ν .

В работах [11–13] методы GT и CWT сравниваются для нахождения оптимальной диагностики вызванных потенциалов, возникающих в электроэнцефалограмме мозга, и автоматическом анализе скачков напряжения в электрических сетях. Показано, что ширина окна при использовании GT является критическим параметром для анализа частотно-временной зависимости сигнала. Рекомендуется использовать широкое временное окно, чтобы обнаружить медленные изменения, и более узкое

окно по времени, чтобы обнаружить быстрые изменения. Преимущество использования CWT перед традиционным методом STFT для сейсмологических измерений продемонстрировано в работах [14,15]. Это преимущество становится явным, если исследуемый сигнал имеет различные участки, каждый из которых характеризуется своей продолжительностью и собственным диапазоном частот. Показано, что для сигнала, спектральные и временные свойства которого достаточно динамично изменяются во времени, выбор единого постоянного окна для STFT оказывается сложной задачей и не позволяет правильно осуществлять диагностику такого сигнала.

Методы CWT и STFT были использованы для изучения изменяющихся спектральных свойств сигналов доплеровской диагностики сосудов [16], однако для таких сигналов заметного качественного преимущества в использовании методов CWT перед STFT обнаружено не было. В работе [17] изучались сигналы дыхательной синусовой аритмии, связанной с изменением мгновенной частоты сердечных ударов во время вдоха и выдоха. Показано, что для таких сигналов метод CWT, использующий адаптивное окно, имеет преимущества перед STFT, и позволяет надежно фиксировать как низкие частоты, связанные с дыханием, так и высокие частоты, для которых метод STFT должен использовать окна небольшой длительности. В работе [18] обсуждается использование различных частотно-временных методов регистрации судорожных явлений в мышцах. Исследование показало, что методы CWT дают более адекватную картину сигналов, позволяющую обнаруживать ранние предвестники таких приступов.

К сожалению, огромное количество работ, посвященных изучению свойств нестационарных сигналов $Z(t)$, выполненных как с помощью GT, так и помощью CWT, являются численными [11–18]. Получение вида нестационарных сигналов, которые допускают аналитическое выражение как для GT, так и для CWT, является важной задачей, так как позволяет тестировать многие численные алгоритмы для сигналов большой длительности. Кроме того, имея аналитическое выражение для GT и CWT, можно найти необходимые критерии разрешения сигнала как по частоте, так и по времени, а также определить — какой размер окна W будет наиболее оптимальным для преобразования GT.

Целью настоящей работы является разработка математической модели импульсных сигналов, которые осциллируют во времени с некоторой частотой, причем их амплитуда $A(t)$ быстро изменяется во времени. Аналитические выражения как для GT, так и для CWT, полученные в работах [9–10], применены для анализа таких сигналов. Сформулированы количественные критерии точности воспроизведения амплитуды сигнала $A(t)$ с помощью преобразований GT и CWT и обсуждаются их недостатки и преимущества.

1. Модель нестационарных сигналов

Рассмотрим импульсный сигнал $Z(t)$, который представляет собой суперпозицию N простейших нестационарных сигналов, центрированных в точках $t = t_L$, каждый из которых характеризуется системой параметров L :

$$Z(t) = \sum_{L=0}^{N-1} z_L(t - t_L). \quad (1)$$

Простейший сигнал $z_L(t - t_L)$, представляющий собой произведение огибающей гауссовой формы на осциллирующую функцию [9], равен

$$z_L(t - t_L) = \frac{b_L}{2\tau_L\sqrt{\pi}} \exp\left(-\frac{(t - t_L)^2}{4\tau_L^2}\right) \times \cos(2\pi f_L(t - t_L) + \alpha_L). \quad (2)$$

Пять параметров L , характеризующих сигнал $z_L(t - t_L)$, имеют вид

$$L = (b_L; f_L; t_L; \tau_L; \alpha_L), \quad (3)$$

где f_L — частота колебаний (Гц), t_L — центр локализации сигнала во времени в секундах (с), τ_L — характерный размер локализации сигнала по времени (с), α_L — начальная фаза в радианах. Если сигнал $Z(t)$ измеряется в вольтах (В), то размерность коэффициентов суперпозиции b_L представляет собой произведение (В) · (с). Предположим, что в сумме (1) частоты всех простейших элементарных сигналов одинаковы $f_L = f_0$, а времена t_L и фазы α_L при $L > 0$ связаны с параметрами t_0 и α_0 соотношением

$$2\pi f_0(t_0 - t_L) + \alpha_L - \alpha_0 = 2\pi n, \quad (4)$$

где n — представляет собой целое число $n = 0, \pm 1, \pm 2, \pm 3, \dots$. Это означает, что суммарный сигнал $Z(t)$ можно представить в виде

$$Z(t) = B(t) \cos[2\pi f_0(t - t_0) + \alpha_0]. \quad (5)$$

Величина $B(t)$ представляет собой сумму

$$B(t) = \frac{1}{2\sqrt{\pi}} \sum_{L=0}^{N-1} b_L \exp\left[-\frac{(t - t_L)^2}{4\tau_L^2}\right]. \quad (6)$$

Рассмотрим модель сигналов (6), для которой коэффициенты суперпозиции b_L могут иметь разные знаки, поэтому функция $B(t)$ является знакопеременной. Введем понятие положительной амплитуды сигнала

$$A(t) = |B(t)|. \quad (7)$$

В качестве примера рассмотрим сигнал $Z(t)$, который представляет собой сумму $Z(t)$ (1) двух простейших нестационарных сигналов $z_L(t - t_L)$ и $z_K(t - t_K)$ с параметрами $L = (13, 2.5, 10, 2, 0)$ и $K = (-10, 2.5, 13, 0.5, \pi)$. Частоты сигналов $z_L(t - t_L)$

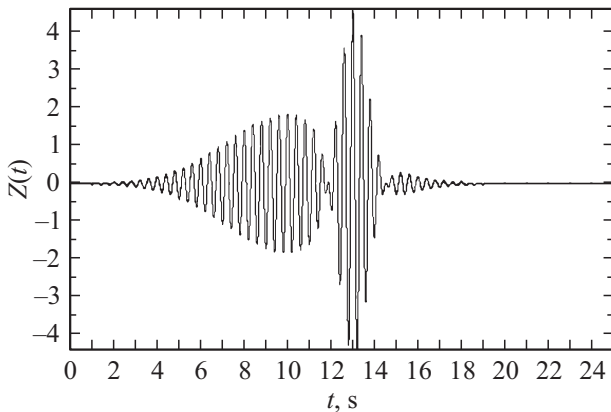


Рис. 1. Зависимость сигнала $Z(t)$ (1), представляющего собой суперпозицию $Z(t)$ двух простейших нестационарных сигналов $z_L(t - t_L)$ и $z_K(t - t_K)$ с параметрами $L = (13, 2.5, 10, 2, 0)$ и $K = (-10, 2.5, 13, 0.5, \pi)$, от времени t, s .

и $z_K(t - t_K)$ одинаковы $f_0 = 2.5 \text{ Hz}$, а параметры времен t_K и t_L и фаз α_K, α_L удовлетворяют соотношению (4).

Предложенная модель сигнала с быстроизменяющейся амплитудой представлена на рис. 1. Интересно заметить, что в сигнале после узкого гауссовского пика, имеющего характерное значение $\tau_K = 0.5 \text{ s}$, центрированного в точке $t_K = 13 \text{ s}$, появляется „остаток“ широкого гауссовского пика $\tau_L = 2 \text{ s}$, центрированного в более ранний момент времени в точке $t_L = 10 \text{ s}$.

2. Преобразование Габора (ГТ)

Целью настоящей работы будет изучение возможности с помощью преобразования ГТ, характеризующегося определенным значением продолжительности окна W , восстановить зависимость от времени амплитуды сигнала $A(t)$. В преобразовании ГТ используются функции $\chi_W(\nu, t)$, представляющие собой произведение колебания $\exp(-i2\pi\nu t)$ с частотой ν на вещественную функцию гауссовского окна $R_W(t)$, имеющего единичную норму

$$\chi_W(\nu, t) = R_W(t) \exp(-i2\pi\nu t), \quad (8)$$

$$R_W(t) = \frac{1}{\sqrt{W}\sqrt{2\pi}} \exp\left(-\frac{t^2}{4W^2}\right). \quad (9)$$

Характерная длительность гауссовского окна $R_W(t)$ по времени t равняется $\Delta_t = W$, а протяженность его частотного спектра $R(\omega)$ равняется $\Delta_\omega = 1/(2W)$ [2,5]. Преобразование ГТ $g_W(\nu, t)$ для сигнала $Z(t)$ является оконным преобразованием Фурье с гауссовским окном [1–5,9]

$$g_W(\nu, t) = \int_{-\infty}^{\infty} Z(t') \chi_W^*(\nu, t' - t) dt' \quad (10)$$

и представляет собой свертку сигнала $Z(t)$ с комплексно сопряженной функцией $\chi_W^*(\nu, t)$. Центр окна находится

в точке $t = t'$, а размер окна — порядка W . Перемещая центр окна t вдоль временной оси t' , причем $t - W < t' < t + W$, мы можем проследить за изменением частотного состава сигнала $Z(t')$ в этом окне. Для ГТ можно получить аналог равенства Парсеваля, и формулу обратного преобразования, позволяющего по заданным функциям $\chi_W^*(\nu, t)$ и $g_W(\nu, t)$ восстановить сигнал $Z(t)$ [4]. Аналитическое выражение $g_W^{(L)}(\nu, t)$ для элементарного нестационарного сигнала $z_L(t - t_L)$ (2) получено в работе [9]. Элементарный принцип суперпозиции позволяет получить аналитическое выражение $g_W(\nu, t)$ для сигнала (5), (6) с быстроизменяющейся по времени амплитудой $A(t)$.

Основным недостатком преобразования ГТ является зависимость $g_W(\nu, t)$ от ширины окна W , причем выбор величины W для произвольного нестационарного сигнала $Z(t)$, частоты которого динамично изменяются во времени, представляет собой сложную задачу. Пусть сигнал $Z(t)$ (рис. 1) имеет общую частоту $f_0 = 2.5 \text{ Hz}$ и представляет собой суперпозицию двух элементарных нестационарных сигналов (1–6) с параметрами $L = (13, 2.5, 10, 2, 0)$ и $K = (-10, 2.5, 13, 0.5, \pi)$. Модуль преобразования Габора $|g_W(\nu, t)|$, вычисленный для окна с определенной продолжительностью $W = 0.1 \text{ s}$, представлен на рис. 2. Видно, что для такого окна величина $|g_W(\nu, t)|$ имеет очень широкое распределение по частотам ν .

В работе [9] показано, что если строить преобразование $|g_W(\nu, t)|$ для больших значений окна $W \gg \max\{\tau_L; \tau_K\}$, то в этом случае полуширина пика по оси частот будет очень узкой $\Delta_\nu = 1/(4\pi\tau_L)$, а полуширина пика по оси времени $\Delta_t = W$ будет очень широкой. Это обстоятельство не позволит определить поведение быстроизменяющейся по времени амплитуды сигнала $A(t)$ по известному преобразованию ГТ.

Единственной возможностью восстановить правильное поведение $A(t)$ является построение ГТ в случае $W \ll \min\{\tau_L; \tau_K\}$. Критерии, которые помогут выбрать наиболее оптимальный размер окна W для определения зависимости $A(t)$ с помощью поведения $|g_W(\nu, t)|$ в случае $W \ll \min\{\tau_L; \tau_K\}$ будут приведены в разд. 4 настоящей работы.

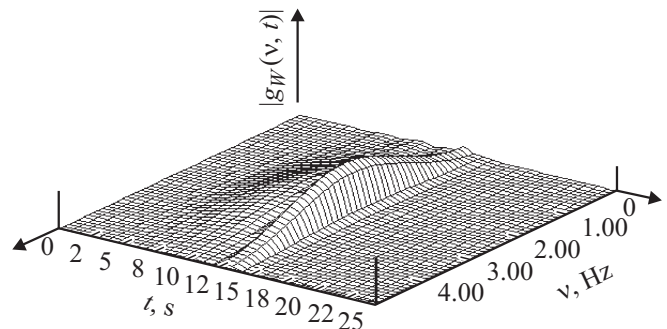


Рис. 2. Модуль ГТ $|g_W(\nu, t)|$, построенный для сигнала $Z(t)$ (рис. 1), в зависимости от частоты $\nu, \text{ Hz}$ и времени $t, \text{ s}$ для ширины окна $W = 0.1 \text{ s}$.

3. Непрерывное вейвлетное преобразование (CWT)

Непрерывное вейвлет-преобразование $V(\nu, t)$ (CWT)

$$V(\nu, t) = \nu \int_{-\infty}^{\infty} Z(t') \psi^*(\nu(t' - t)) dt' \quad (11)$$

отображает сигнал $Z(t)$ на плоскость непрерывно изменяющихся аргументов — частоты ν и времени t . Знак * означает комплексное сопряжение. Функция $\psi(x)$, представляет собой материнский вейвлет, локализованный вблизи точки $x = 0$, имеющий нулевое среднее значение и обладающий единичной нормой. Этими свойствами обладает вейвлет Морле [8]

$$\psi(x) = D \exp\left(-\frac{x^2}{2}\right) \left(\exp(-i\Omega_0 x) - \exp\left(-\frac{\Omega_0^2}{2}\right) \right), \quad (12)$$

где параметр $\Omega_0 = 2\pi$, а значение нормировочной постоянной D приведено в работах [9,10]. Для вейвлета Морле $\psi(x)$ (11) протяженность по безразмерной переменной x равна $\Delta_x \approx 1/\sqrt{2}$, а протяженность в пространстве безразмерных частот Ω равняется $\Delta_\Omega \approx 1/\sqrt{2}$. Следовательно, вейвлет Морле одинаково хорошо подходит для анализа как временных, так и частотных особенностей исследуемого сигнала. Это является основанием выбора именно этого материнского вейвлета. Вейвлет в выражении для CWT (11) играет роль адаптивного окна протяженностью $t - \Delta_x/\nu < t' < t + \Delta_x/\nu$, ширина которого велика для малых частот ν и мала для больших частот.

Основной вклад в интеграл $V(\nu, t)$ (11) вносят составляющие сигнала $Z(t')$, которые похожи на вейвлет, центрированный в точке $t = t'$ и обладающий частотой ν . Исследование спектральных свойств сигнала выполняется с помощью анализа динамики положения максимумов (хребтов) поверхности $|V(\nu, t)|^2$. Изображение таких хребтов называют скелетом [3]. В работе [9] показано, что для гармонического сигнала $Z(t) = \cos(2\pi f_0 t)$, где f_0 — частота в Hz, максимум величины $|V(\nu, t)|^2$ наблюдается при $\nu = f_0$. Это определяет выбор CWT в виде (11) и означает, что величина $P(\nu, t) = |V(\nu, t)|^2$ определяет мгновенный спектр мощности сигнала, показывающий динамику изменения во времени его спектральных свойств.

В работах [1–6,9] приведены аналог равенства Парсевала для вейвлетов, а также формула обращения, позволяющая восстановить сигнал $Z(t)$ по его CWT $V(\nu, t)$. Аналитическое выражение $V^{(L)}(\nu, t)$ для элементарного нестационарного сигнала $z_L(t - t_L)$ (2) получено в работе [9], поэтому выражение $V(\nu, t)$ для сложного сигнала (5) (рис. 1) легко найти. На рис. 3 построено CWT $|V(\nu, t)|$ для сигнала $Z(t)$ (5) (рис. 1). Заметим, что для CWT размер окна подбирается автоматически в зависимости от диапазона исследуемых частот, и для любого сигнала $Z(t)$ получается единственная функция $|V(\nu, t)|$. Представленная зависимость CWT $|V(\nu, t)|$

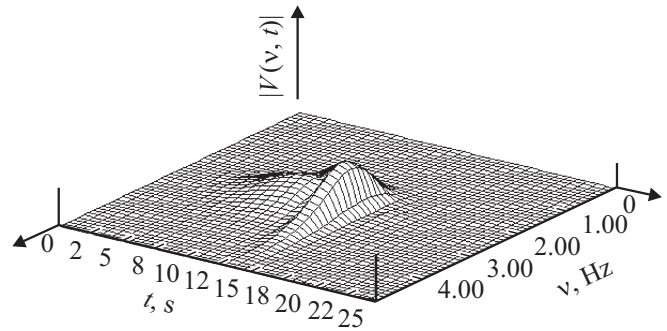


Рис. 3. Модуль преобразования CWT $|V(\nu, t)|$, построенный для сигнала $Z(t)$ (рис. 1), в зависимости от частоты ν , Hz и времени t , s.

дает удовлетворительное согласие частотно-временной динамики изменения сигнала (рис. 1) как по частоте, так и по времени.

4. Сравнение GT и CWT с поведением амплитуды сигнала со временем

Для сравнения поведения быстроизменяющейся амплитуды сигнала $A(t)$ с преобразованием GT рассмотрим значения модуля $|g_w(\nu, t)|$ (10) при фиксированном значении частоты $\nu = f_0$. Количественной мерой расхождения кривых $A(t)$ и модуля преобразования GT $|g_w(f_0, t)|$ является коэффициент корреляции Пирсона $r_{GT}(W)$, который зависит от размера окна W

$$r_{GT}(W) = \frac{\langle A(t) |g_w(f_0, t)| \rangle - \langle A(t) \rangle \langle |g_w(f_0, t)| \rangle}{\sqrt{[\langle A^2(t) \rangle - \langle A(t) \rangle^2] \times [\langle |g_w(f_0, t)|^2 \rangle - \langle |g_w(f_0, t)| \rangle^2]}} \quad (13)$$

Символ $\langle \dots \rangle$ в выражении (13) означает усреднение по всему времени наблюдения. На рис. 4 построена зависимость коэффициента корреляции Пирсона $r_{GT}(W)$

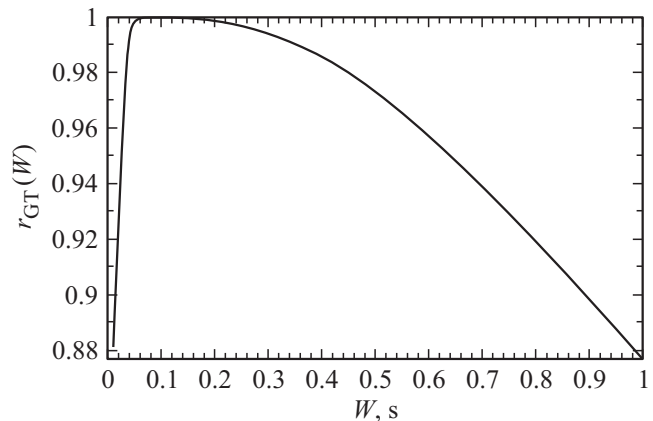


Рис. 4. Зависимость коэффициента корреляции Пирсона $r_{GT}(W)$ (13) между амплитудой сигнала $A(t)$ (7) и модулем преобразования GT $|g_w(f_0, t)|$ (10) от размера окна W , s.

от размера окна W преобразования ГТ. В случае $W \gg \max\{\tau_L; \tau_K\}$ при увеличении W величина $r_{GT}(W)$ уменьшается, и амплитуда сигнала с быстроизменяющейся амплитудой $A(t)$ воспроизводится с помощью ГТ плохо. Уменьшая размер W , мы увеличиваем коэффициент $r_{GT}(W)$, причем восстановление $A(t)$ с помощью анализа функции $|g_W(f_0, t)|$ возможно только в случае $W \ll \min\{\tau_L, \tau_K\}$. Максимальное значение $r_{GT}(\max) = 0.9996$ достигается при $W = 0.0724$.

Однако для такого малого окна W функция $g_W(\nu, t)$ имеет широкое распределение по частотам ν , так как выбор размера окна ограничен неравенством $1/f_0 < W \ll \tau_L$ (рис. 2). Слишком малое окно W не позволяет правильно оценить частотный спектр сигнала $Z(t)$ с фиксированной частотой f_0 . При дальнейшем уменьшении размера окна $W < 0.0724$ также происходит уменьшение $r_{GT}(W)$, связанное с тем, что окно начинает реагировать на пики синусоидальных колебаний сигнала $Z(t)$.

Для сравнения поведения амплитуды сигнала $A(t)$ с преобразованием SWT рассмотрим значения модуля $|V(\nu, t)|$ (10) при фиксированном значении частоты $\nu = f_0$ и введем коэффициент корреляции Пирсона r_{CWT} . Этот коэффициент корреляции вводится по аналогии с формулой (13), если функцию $|g_W(f_0, t)|$ заменить на $|V(f_0, t)|$. В отличие от преобразования ГТ, вид которого зависит от размера окна W , в преобразовании SWT размер окна определяется лишь изучаемой частотой $\nu = f_0$. В этом случае мы имеем единственное значение $r_{CWT} = 0.994$, описывающее корреляцию быстроизменяющейся амплитуды сигнала с функцией $|V(f_0, t)|$.

На рис. 5 для сигнала $Z(t)$ (рис. 1) построена зависимость амплитуды от времени $A(t)$, нормированной на свое максимальное значение $A(t)/A_{\max}$. Это самая нижняя кривая, имеющая самую большую толщину. Если мы будем сравнивать поведение функции $A(t)/A_{\max}$ с поведением от времени модуля пре-

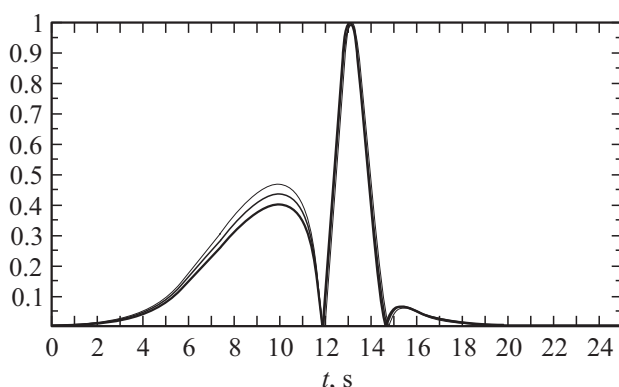


Рис. 5. Зависимость от времени t, s нормированных на максимум следующих величин: амплитуда сигнала $A(t)/A_{\max}$ (нижняя кривая наибольшей толщины), преобразование ГТ $|g_W(f_0; t)|/|g_{\max}(f_0; t)|$ для $W = 0.2$ s (средняя кривая промежуточной толщины), преобразование SWT $|V(f_0; t)|/|V_{\max}(f_0; t)|$ (тонкая кривая).

образования ГТ, нормированного на свое максимальное значение $|g_W(f_0, t)|/|g_{\max}(f_0, t)|$, то для параметра $W = 0.1$ коэффициент корреляции $r_{GT}(W)$ будет равен $r_{RG}(W) = 0.999$, и две эти кривые практически сольются. Функция $|g_W(f_0, t)|/|g_{\max}(f_0, t)|$ для размера $W = 0.2$ ($r_{GT}(W) = 0.998$) изображена на рис. 5 линией, имеющей промежуточную толщину. В этом случае отличие от нижней кривой $A(t)/A_{\max}$ становится заметным. Для преобразования SWT отношение $|V(f_0, t)|/|V_{\max}(f_0, t)|$, изображенное на рис. 5 тонкой линией, имеет коэффициент корреляции $r_{CWT} = 0.994$ и также удовлетворительно описывает поведения зависимости амплитуды по времени $A(t)$.

Сравнивая SWT с ГТ, можно видеть, что удовлетворительного согласия функции $|g(f_0, t)|/|g_{\max}(f_0, t)|$ с поведением амплитуды $A(t)$ для ГТ можно достичь только в единственном частном случае сверхмалого значения окна $W \ll \min\{\tau_L; \tau_K\}$. Однако для такого окна малой продолжительности ГТ имеет очень широкое распределение по частотам (рис. 2), в то время как SWT (рис. 3) имеет достаточно компактную локализацию в пространстве частот. Представленная зависимость SWT $|V(\nu, t)|$ дает удовлетворительное согласие частотно-временной динамики изменения сигнала (рис. 3) как по частоте, так и по времени и не требует дополнительного знания характерных промежутков изменения сигнала $Z(t)$.

Полученные выводы о преимуществе SWT перед ГТ были подтверждены на нескольких моделях импульсных сигналов с быстроизменяющейся амплитудой. Особенно это преимущество заметно в модели сигнала $Z(t)$, состоящего из 5 простейших нестационарных сигналов $L = 0, 1, \dots, 4$. В этой модели характерные масштабы сигнала $Z(t)$ быстро изменяются во времени: $b_L = 5(0.3 + 0.3|L - 4|)$, $f_L = 2.5$ (Hz), $t_L = 6 + 4L$ (s), $\tau_L = 0.3 + 0.3|L - 4|$ (s), $\alpha_L = 0.0$.

Заключение

Разработан новый класс импульсных нестационарных сигналов $Z(t)$ с постоянной частотой f_0 , амплитуда которых $A(t)$ резко изменяется во времени. Для предложенной модели сигнала $Z(t)$ получено аналитическое выражение как для ГТ $g_W(\nu, t)$, так и для SWT $V(\nu, t)$.

Рассмотрены недостатки ГТ $g_W(\nu, t)$, явный вид которого зависит от ширины окна W . Показано, что выбор величины W для произвольного нестационарного сигнала $Z(t)$, характерные частоты которого произвольно изменяются во времени, представляет собой сложную задачу. Для нестационарного сигнала $Z(t)$, имеющего единственную частоту f_0 и быстроизменяющуюся амплитуду $A(t)$, вычислено $|g_W(\nu, t)|$ для случая $\nu = f_0$. Критерием согласования $A(t)$ и $|g_W(f_0, t)|$ является коэффициент корреляции Пирсона $r_{GT}(W)$, который для преобразования ГТ зависит от размера окна W . Сформулирован алгоритм выбора продолжительности окна W , связанный с нахождением максимума величины $r_{GT}(W)$.

Показано, что выбор W из условия $W \geq \tau_L$ приводит к тому, что величина $r_{GT}(W)$ принимает малое значение, и амплитуда сигнала $A(t)$ воспроизводится с помощью $|g_W(f_0, t)|$ плохо. В этом случае оценка продолжительности переходного периода амплитуды $A(t)$ по характерному времени изменения функции $|g_W(f_0, t)|$ невозможна. Уменьшая размер W , мы увеличиваем коэффициент $r_{GT}(W)$, причем восстановление $A(t)$ с помощью анализа функции $|g_W(f_0, t)|$ возможно только в случае $W \ll \min\{\tau_L, \tau_K\}$. Такой алгоритм выбора наиболее оптимального размера окна требует заранее известных масштабов изменения сигнала $Z(t)$. При сверхмалых размерах окна W при вычислении GT также происходит уменьшение коэффициента корреляции Пирсона. Это связано с тем, что окно начинает реагировать на пики отдельных синусоидальных колебаний сигнала. Найдено максимальное значение коэффициента корреляции Пирсона $r_{GT}(\max) = 0.9996$ при $W = 0.0724$, однако для такого малого окна невозможно правильно оценить частотный спектр сигнала $Z(t)$.

При вычислении CWT $V(\nu, t)$ производится автоматическое вычисление ширины окна, которое определяется исследуемой частотой ν и имеет большую продолжительность при изучении низкочастотных характеристик сигнала $Z(t)$ и малую продолжительность окна — для высокочастотных. Явный вид CWT зависит от типа материнского вейвлета, который будет определять как временное разрешение сигнала $Z(t)$, так и его частотное разрешение. При использовании материнского вейвлета Морле на графике $|V(\nu, t)|$ получается удовлетворительное согласие с поведением быстроизменяющейся амплитуды сигнала $A(t)$. Частотная локализация $|V(\nu, t)|$ также имеет удовлетворительное согласие с исследуемым сигналом.

Таким образом, CWT имеет преимущества перед GT в описании сложных нестационарных сигналов, свойства которых могут быстро изменяться со временем. Предлагаемые модельные импульсные сигналы с быстроизменяющейся амплитудой, допускающие аналитическое решение как для GT, так и для CWT, могут быть применены для анализа многих переходных этапов нестационарных сигналов в различных областях физики. Такие сигналы могут быть применены для моделирования всплесков в сигнале электроэнцефалограммы мозга, быстроизменяющихся процессов в физике плазмы и астрофизике, для описания неравновесных явлений в теории взаимодействующих когерентных пространственно-временных структур, для описания переходных процессов в электрических цепях, для анализа сейсмологических сигналов.

Список литературы

- [1] Чуи К. Введение в вейвлеты. М.: Мир, 2001. 412 с.
- [2] Короновский А.А., Храмов А.Е. Непрерывный вейвлет-анализ и его приложения. М.: Физматлит, 2003. 176 с.
- [3] Добеши И. Десять лекций по вейвлетам. М.: Изд-во РХД, 2004. 464 с.
- [4] Малла С. Вейвлеты в обработке сигналов. М.: Мир, 2005. 671 с.
- [5] Cohen A. Numerical Analysis of Wavelet Method. North-Holland, Elsevier Science, 2003. 335 p.
- [6] Advances in Wavelet Theory and Their Applications in Engineering / Ed. D. Baleanu. Phys. Technol. 2012. 634 p.
- [7] Gabor D. // J. Inst. Elec. Eng. 1945. Vol. 93. P. 429–457.
- [8] Goupillaud P., Grossmann A., Morlet J. // Geoexploration. 1984. V. 23. P. 85–102.
- [9] Божокин С.В. // ЖТФ. 2012. Т. 82. Вып. 7. С. 8–13.
- [10] Божокин С.В., Суслова И.Б. // ЖТФ. 2013. Т. 83. N 12. С. 26–32.
- [11] Dass S., Holi M.S., Rajan K.S. // IJERT. 2013. V. 2. N 11. P. 636–641.
- [12] Cho S.H., Jang G, Kwon S.H. // IEEE Trans. Power Deliv. 2010. V. 25. N 1. P. 494–499.
- [13] Szmajda M., Górecki K., Mroccka J. // Metrol. Meas. Syst. 2010. V. 17. N. 3. P. 383–396.
- [14] Shokrollahi E., Zargar G., Riahi M.A. // Int. J. Sci. Emerging Tech. 2013. V. 5. N 5. P. 291–299.
- [15] Bartoch T., Seidl D. // Annali di geofizica. 1999. V. 42. N 3. P. 497–506.
- [16] Ubeyli E.D., Guler I. // Computers in Biology and Medicine. 2004. V. 34. P. 345–354.
- [17] Cnockaert L., Migeotte P.F., Daubigny L., Prisk G.K, Grenez F., Sa R.C. // IEEE Trans. biomedic. engineer. 2008. V. 55. N 5. P. 1640–1642.
- [18] Nijssen T.M.E., Aarts R.M., Cluitmans P.J.M., Griep P.A.M. // IEEE Trans. inform. technol. medic. 2010. V. 14. N 5. P. 1197–1203.